

マサ土の不飽和浸透特性と圧縮沈下について

和歌山工業高等専門学校 正員○佐々木清一
関西大学工学部 正員 西田 一彦

1) まえがき

著者らは、一連のマサ土の不飽和浸透特性について実験を行った結果、含水比やサクションに対する風化度の影響が著しいことを明らかにした。¹⁾ ところで、本実験の吸排水中に生ずる圧縮沈下の仔細も高盛土の水浸沈下の現象と関連するため重要である。²⁾ そこで、土柱モデルによる吸排水時の水分、サクションと沈下の結果について報告する。

2) 試料と計測の手法

実験に用いた試料は、川砂と風化度の異なる3種類のマサである。風化度の判定は、見かけ比重、比表面積の値で尺度とした。その結果、マサM₁、2、3と番号の大きいほど風化度大を意味する。これらの試料をFig-1に示される角柱容器に均一な密度となるようにていねいに詰める。そして、一端にマリオット給水装置を接続し水頭80cmの下で吸排水の実験を行った。とくに、サクションは、圧力変換器(±1kg/cm²)の先端にセラミック製チップ³⁾を取り付け、また含水比は、γ線(⁶⁰Co/100μCi)の方法で、位置に移動させて計測できるように工夫して測定した。沈下は、二重管式の沈下計の上部に変位計をセットし、各深さごとの変化を測定できるように試料の中に埋めた。これららの諸量の長時間の変化を観測するため自動データ計測システムに接続した。

3) 結果の考察

透水中の水分は、あらかじめ求めた実験式(1)で推定される。³⁾ $W = \frac{1}{\gamma} (R + 0.163\gamma) - 0.856$ --(1) ここで、W: 含水比、γ: 勾配 R: 計算率比、γ_d: 乾燥密度とことど、この式によると含水比がどの位のバラツキを有するか統計を試みる。Table-1は、γ線乾燥法によるバラツキの度合を掲げたものである。そして、γ線による含水比の値は、Table-2で示される。ところど、線源から放出される放射線の数は、時間的に一定ではなく統計的ばらつきを持つている。

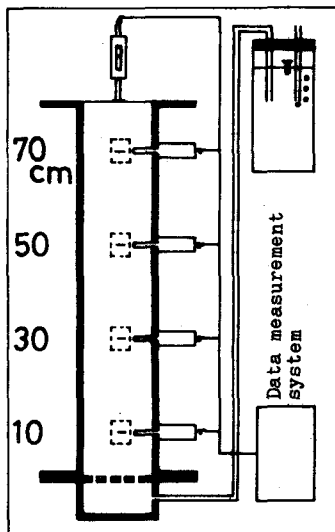


Fig-1 Experimental apparatus

Table-1 Measured water content

Sample NO.	Sand	M-1	M-2	M-3
1	3.438	7.451	7.491	8.377
2	3.391	7.539	7.495	8.480
3	3.341	7.531	7.361	8.282
4	3.297	7.229	7.061	8.203
5	3.309	7.521	7.888	8.217
6	2.634	8.519	7.197	8.307
7	3.319	7.379	7.653	8.272
8	3.078	7.386	7.173	8.002
9	3.156	7.407	7.297	8.183
10	3.297	7.864	7.694	8.242
Mean	3.226	7.583	7.431	8.257
M.S.E	±0.073	±0.116	±0.083	±0.040

Table-2 Calculated water content

Sample NO.	Sand	M-1	M-2	M-3
1	0.642	0.651	0.619	0.636
2	0.645	0.666	0.627	0.630
3	0.648	0.658	0.625	0.627
4	0.642	0.666	0.621	0.631
5	0.642	0.665	0.624	0.627
6	0.640	0.662	0.619	0.631
7	0.640	0.665	0.630	0.630
8	0.643	0.663	0.623	0.631
9	0.638	0.666	0.621	0.633
10	0.642	0.663	0.626	0.625
Mean	0.642	0.663	0.624	0.630
M.S.E	±0.001	±0.001	±0.001	±0.001
Calculated sum	3.001	7.676	7.735	8.985
Error	±0.200	±0.309	±0.240	±0.271

Seiichi SASAKI, Kazuhiko NISHIDA

たがって、この値に誤差があれば、計算された量にも影響してくれる。計測率比の平均二乗誤差は、±0.001で試験に關係なく一定である。これらの量と関数關係にある式(1)の平均二乗誤差は、誤差伝播の法則により式(2)となる。 $Eg.error = \sqrt{\left(\frac{\partial W}{\partial R}\right)^2 M_R^2} \quad (2)$ ただし、 M_R : 計測率比の平均二乗誤差 この結果、 ψ 線による含水比は、小數点以下一桁程度のバラツキを持つており炉乾燥法と比較すれば、許容できるものと考えられる。この手法で得た含水率とサクションの吸水時の経時変化は、Fig-2で与えられる。この図より、両者の關係は、対応しており時間の経過と共に含水比は増加し反対にサクションは減少する。同様に、Fig-3は、排水について行ったものである。やはり、含水比とサクションの変化について吸水と同じことが言えるが、時長と1つ、マサのように保水能の高い土では、いったん入った水分は、排出されにくいためその変化は、きわめて遅く長時間を有することである。さらに、吸排水時にあいて圧縮沈下を測定するとFig-4で与えられる。この沈下は、吸水よりも排水時に急激に増加する様子を示している。すなわち、このような現象は、不飽和土に水が浸入することにより土粒子間の接觸力が低下し土粒子が相対的に移動することに起因するものと推定される。

4)まとめ

マサ土の吸排水過程における浸透特性と沈下の關係について、土柱モデルによる実験を試みた結果、とくに風化度の大きいマサでは、透水解析において沈下を考へねばならないことを示した。

5)参考文献

- 1) 松尾他 (1981) "Physical properties of soil particles and their effect on hydraulic conductivity of unsaturated decomposed granite soil," *Sols and Foundations Vol.21, No.4, pp.1-12*
- 2) 福田 (1977) "盛土地盤の浸水に伴う沈下とその解析について" *土質論文集 Vol.17, No.2 pp.65-73*